



MICROFICHE N°

04336

République Tunisienne

MINISTÈRE DE L'AGRICULTURE

CENTRE NATIONAL DE
DOCUMENTATION AGRICOLE
TUNIS

الجمهورية التونسية
وزارة الفلاحة

المركز القومي
للتثقيف الفلاحي
تونس

F 1

DIRECTION
DES RÉSOURCES EN EAU

LES PRÉCIPITATIONS ET LES CRUES EXCEPTIONNELLES

DU 24 ET 25 SEPTEMBRE 1966

DU 19 NOVEMBRE 1966

PRÉCIPITATION

A. DE LAURENTI

DIRECTION DES EAUX

EXPOSITIONS DE LA MUSÉE

MUSÉE NATIONAL D'ART MODERNE

DU 20 SEPTEMBRE

AU 20 NOVEMBRE 1955

EXPOSITIONS DE LA MUSÉE NATIONAL D'ART MODERNE

DU 20 OCTOBRE 1955

AU 20 NOVEMBRE 1955

LETTRE DE

A. CHODOROWSKY

INTERVIEW PAR CHEV

ont participé à la réalisation de l'exposition des documents

A. BERNSTEIN - A. CHODOROWSKY - R. STURZI

CONTENAIRES

+-----+-----+-----+

	PAGE
1 - INTRODUCTION	1
2 - ETUDE DE LA FLECHE	1
3 - LA LIMITEUR	3
4 - LES DEBITS	6
4.1 - RECURRENCE DU VOLANT DE LA CHIE	9
4.2 - CYCLOGRAPHIE DE LA CHIE LE 16 SEPTEMBRE 1966 AUX AFFONTS POURVE	11
4.3 - COMMENTAIRE SUR LES RESULTATS STATISTIQUES	14
4.4 - PERIODISME ET ESTIMATION DES DEBITS MAXIMUMS	17
5 - CONCLUSION	21

1 - INTRODUCTION

Les précipitations à caractère orageux, qui se sont abattues sur le bassin de l'oued Tine (affluent de Djoumine), durant les deux jours du 28 - 29 septembre ont été à l'origine d'une crue très importante aussi bien en volume qu'en débit maximum, provoquant des débordements considérables au niveau du carrefour routier Tunis - Matour. Pour rendre compte de ce phénomène rare, nous rassemblons dans cette note les données hydroclimatiques observées et les analyses du point de vue statistique.

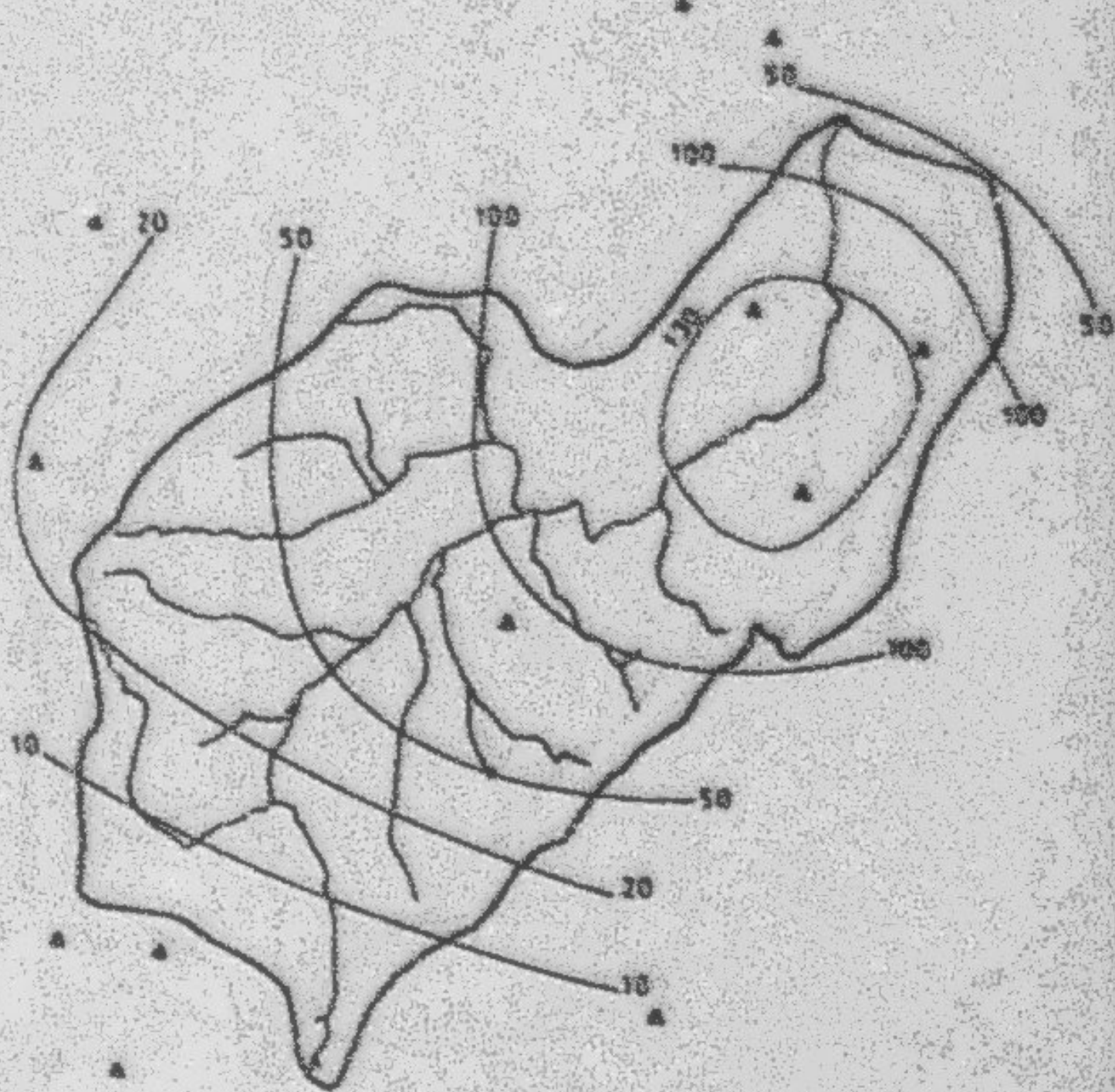
2 - ETUDE DE LA PLUIE

Pour l'étude des précipitations des 28 et 29 septembre 1966 sur le bassin de l'oued Tine, nous avons retenu 12 pluviomètres dont 4 seulement se trouvent dans le bassin. Le pluviomètre installé à la station hydrométrique n'a pas fonctionné : faute d'observateur l'équipe hydrologique de l'Institut avait jugé bon de garder la machine de pluviomètre au local de la zone. Nous avons rassemblé dans le tableau 1.1, les relevés pluviométriques journaliers des 28 et 29 septembre, ainsi que les cumuls pluviométriques de ces deux jours.

TABLEAU 1-1

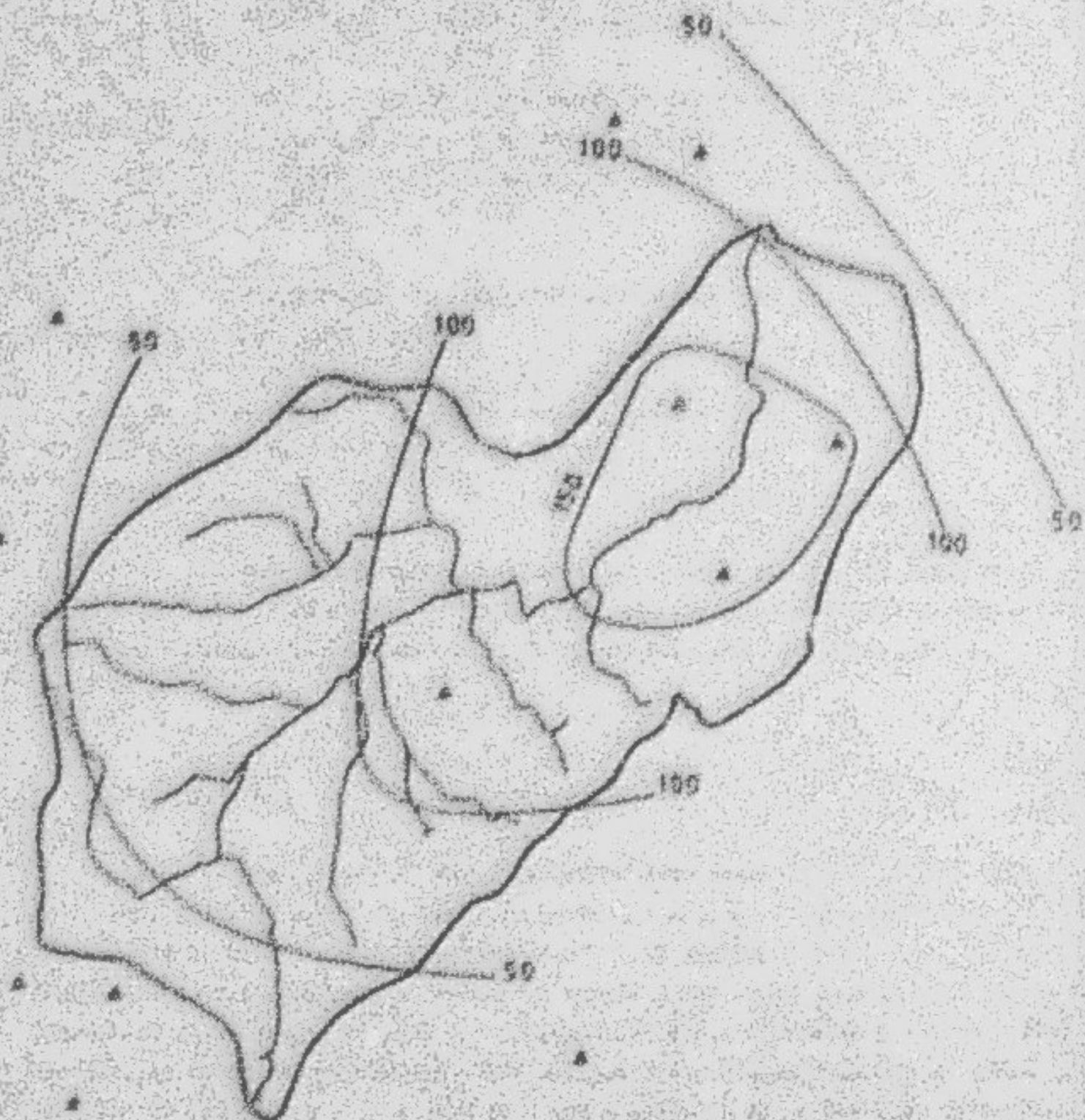
N° RECARG	STATION	PLUIE DU		CUMUL
		28 - 29	29-30	
33163	BOUJ DALIB	40,0	67,0	87,0
31524	ZERKILA	132,4	31,3	163,7
32170	JOUMINE DELS	12,0	11,3	24,0
32920	COUSSET EL BEY	142,0	32,0	174,0
33542	EL KHOUGHT	139,0	28,0	158,0
33602	EL ZEDDAD	34,0	35,0	71,0
34253	EL MELLAMA	98,0	17,0	115,0
34851	DI ANTRE	17,4	20,7	38,5
34570	SI ACHIR I	31,5	16,5	47,5
30799	BCE TUNISIENNE	0,5	23,0	23,5
33096	EL KHEM	9,0	26,0	35,0
33201	ESAR MOULIDIA	0,5	26,0	26,5

RASIN VERSANT DE L'ERDRE TINÉ CASSIS
ISOHYÈTES DE L'AVERSIÓN DU 29/3/1981



1625-1554N 011000 EME COORDS
157443Z SEPTEMBER 19 1936



BASSIN VERSANT DE L'OUED TIN EL GASSOU**ISOPHÈTES DE L'AVERSE DU 26-27/3/1966**

Les tracés des isohyètes, graphiques 1-1, à 1-3, nous permettent de faire les remarques suivantes :

- L'épicentre de la pluie du 28-9 a intéressé l'aval du bassin de l'oued Tine limité à la station hydrographique, son niveau a atteint 142m à Gouetet El Houg; en revanche les quantités de pluies enregistrées en amont du bassin ont été modestes.
- Les hauteurs de pluie enregistrées le 29 septembre sont relativement faibles, comparées à celles du 28, en effet le maximum relevé sur le bassin est de 37mm le 29 contre 142mm le 28 septembre.

Le planimétrage des isohyètes nous donne, les pluies moyennes sur le bassin de l'oued Tine, suivantes :

le 28 - 9 - 1986	pluie moyenne égale à 72mm
le 29 - 9 - 1986	" " à 31mm
les 28 - 29 - 9 - 1986	" " à 100mm

La différence entre la moyenne du cumul (100mm) et la somme des moyennes du 28 - 9 et du 29 - 9 (103mm) est imputée aux tracés des isohyètes, aussi nous retenons dans ce qui suit, 70 mm et 30mm respectivement pour le 28 et le 29.

3 - LA LISSIMETRIE

Le lissimètre A. OTI à réduction 1/20 installé sur la rive droite de l'oued, juste en aval du caisson route Tunis - Mateur, a enregistré d'une façon satisfaisante toute la crue des 28-29 et 30 septembre 1986. Le niveau de l'eau dans le lit de l'oued a commencé à monter d'une façon notable vers 15H de la journée du 28 septembre et vers 17H15, quand le côte à l'échelle a atteint 79cm environ, un début de débordement s'est manifesté à quelques dizaines de mètres en amont de la station ; Le niveau de l'eau a continué de monter pour atteindre son premier maximum de 862 cm (d'après le lissimètre), puisque l'échelle lissimétrique ne dépasse pas les 800, hauteur jamais enregistrée depuis le début des

infiltrations à partir des crues précédentes, et depuis il a commencé à faire des infiltrations jusqu'à 2h du matin où la crue a atteint son pic de 150 cm d'eau dans le réseau de l'Orne à Gouesnac'h à environ 10 km au sud de Morlaix. Le niveau de l'eau a continué de monter à cause pour une raison ou une autre maximum de 73cm à 15h le 16 septembre. La crue a été proclamée finissante le 17 septembre. La crue apparaît sur le graphique 2-1.

4. - LES CRUES

Pour traduire les crues à l'échelle en pieds, nous disposons d'une carte d'échelle de 4-1, établie en 1970 à l'aide des jaugeages effectués à la station (CF. 2). L'hydrogramme de la crue est donné par le graphique 3-1. Les caractéristiques de cette crue sont récapitulées dans le tableau 4-1 suivant.

TABLEAU 4-1

NOMS CRUES	HAUTEUR DU MAXIMUM		TEMPS DE DÉTACHEMENT		DÉBIT M3/S	DÉBIT M3/S		DÉBIT M3/S
	Hauteur pic	Date pic	Hauteur pic	Date pic		Hauteur pic	Date pic	
1. 150	1. 150	1. 150	1. 438	1. 20	1. 150	1. 150	1. 150	1. 22,8
2. Du 28/9	1. 60	1. 08	1. 60	1. 08	1. 60	1. 60	1. 60	1. 60
3. 20-21	1. 20-2	1. 10	1. 20	1. 10	1. 20	1. 20	1. 20	1. 20

Le débit spécifique est égal à 0,617 m³/s/cm².

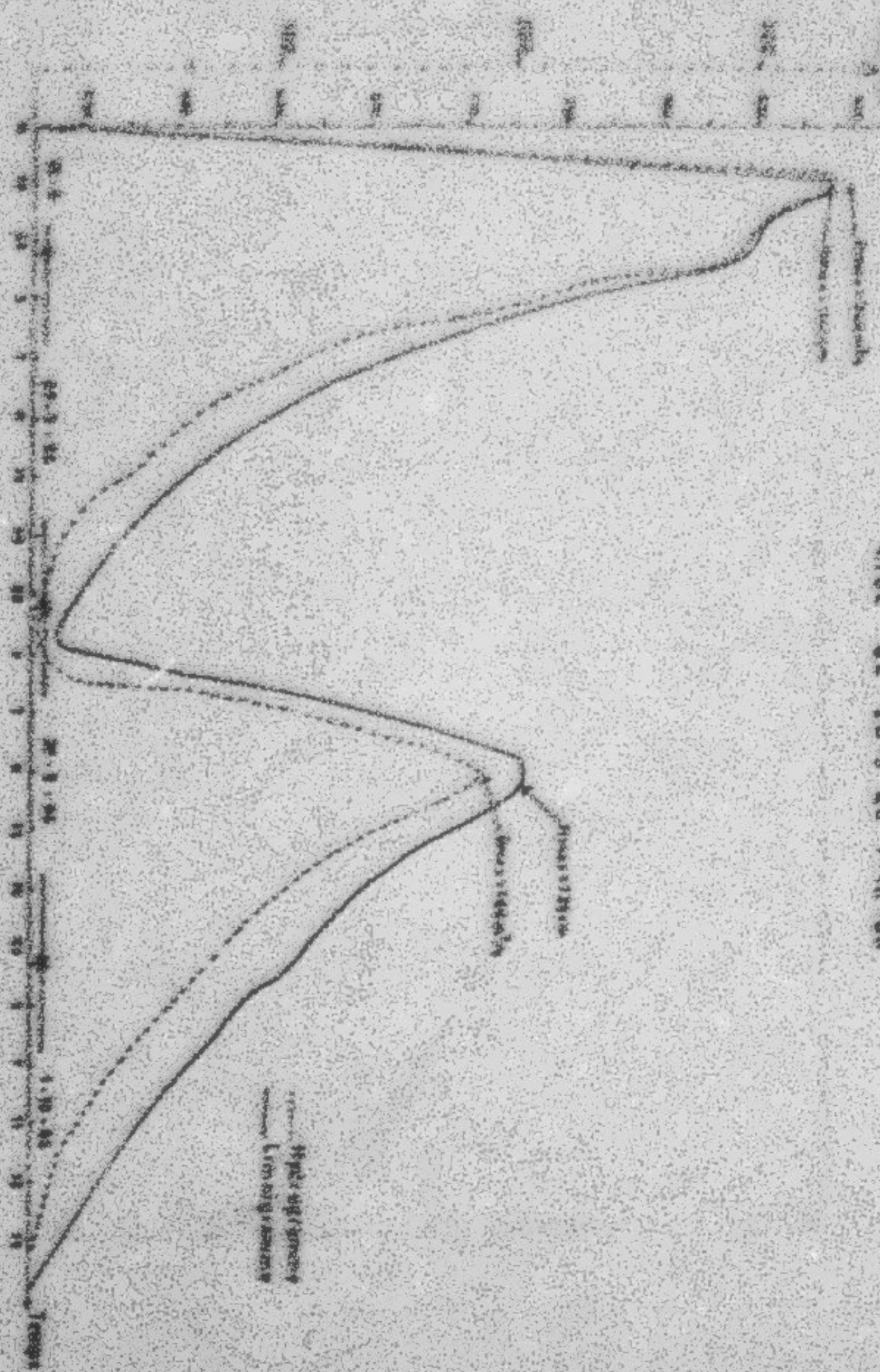
Les hautes d'eau dévolées par jour sont consignées dans le tableau 4-2.

TABLEAU 4-2

DATE	HAUTEUR D'EAU M3	DÉBIT D'EAU M3/S (m3)
28 - 9	8,2	29,4
29 - 9	7,7	17,5
30 - 9	8,4	20,0
1 - 10	2,0	4,8
TOTAL	23,3	62,7

QUAD LINE CASSIS

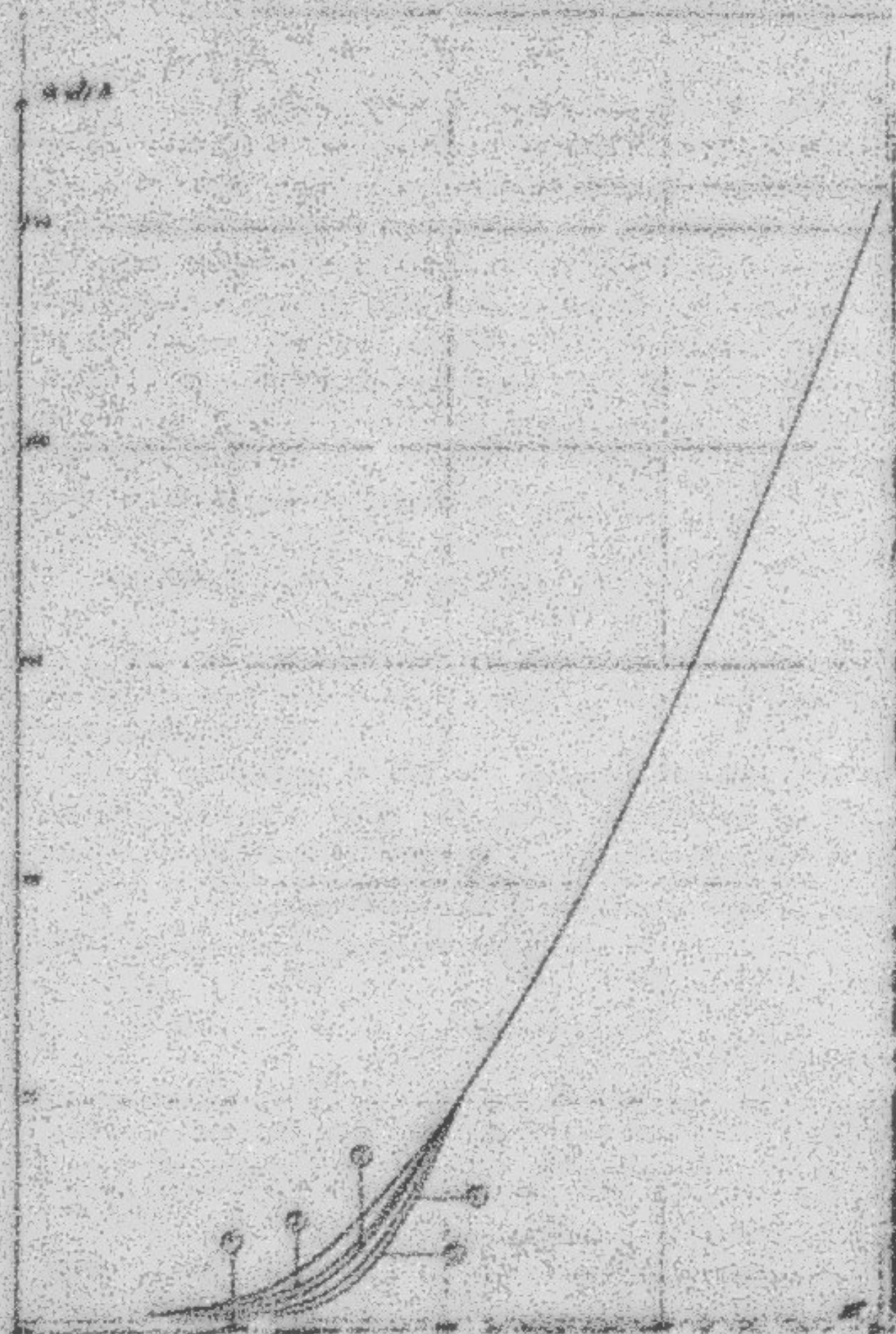
Curve No. 28-9 on 1-10-64



Br. 6.1

OUTS LINE

COURBE D'ÉTALEMENT



La lame d'eau déoulée pendant les 4 jours est de 81,8mm correspondant ainsi à un coefficient d'écoulement de 62% pour une pluie moyenne totale de 100mm.

La crue des 28-29 et 30 septembre 1986 est probablement le résultat de deux épisodes pluvieux distincts puisque le temps qui sépare les deux pointes est de 40 heures, lequel est d'une façon grossière considéré comme l'intervalle qui sépare les centres de gravité des pluies efficaces de ces deux épisodes (le temps de réponse du bassin versant est supposé constant). La séparation des écoullements relatifs aux précipitations des 28 et 29 septembre donne 13,5m³ et 10,4m³ respectivement pour le premier et le 2nd jour de pluie à correspondant ainsi à des coefficients d'écoulement de 53% et 82% pour des pluies moyennes de 70mm et 100mm. Ces forts coefficients de ruissellement sont probablement dûs à des intensités fortes de la pluie du 28 et à des conditions propices au ruissellement (sol saturé) pour la pluie du 29.

4.1 Référence du volume de la crue

Nous désignons par crue maximale annuelle; la crue dont le volume est le plus grand de l'année, le nombre de jours d'écoulement étant variable (1 à plusieurs jours).

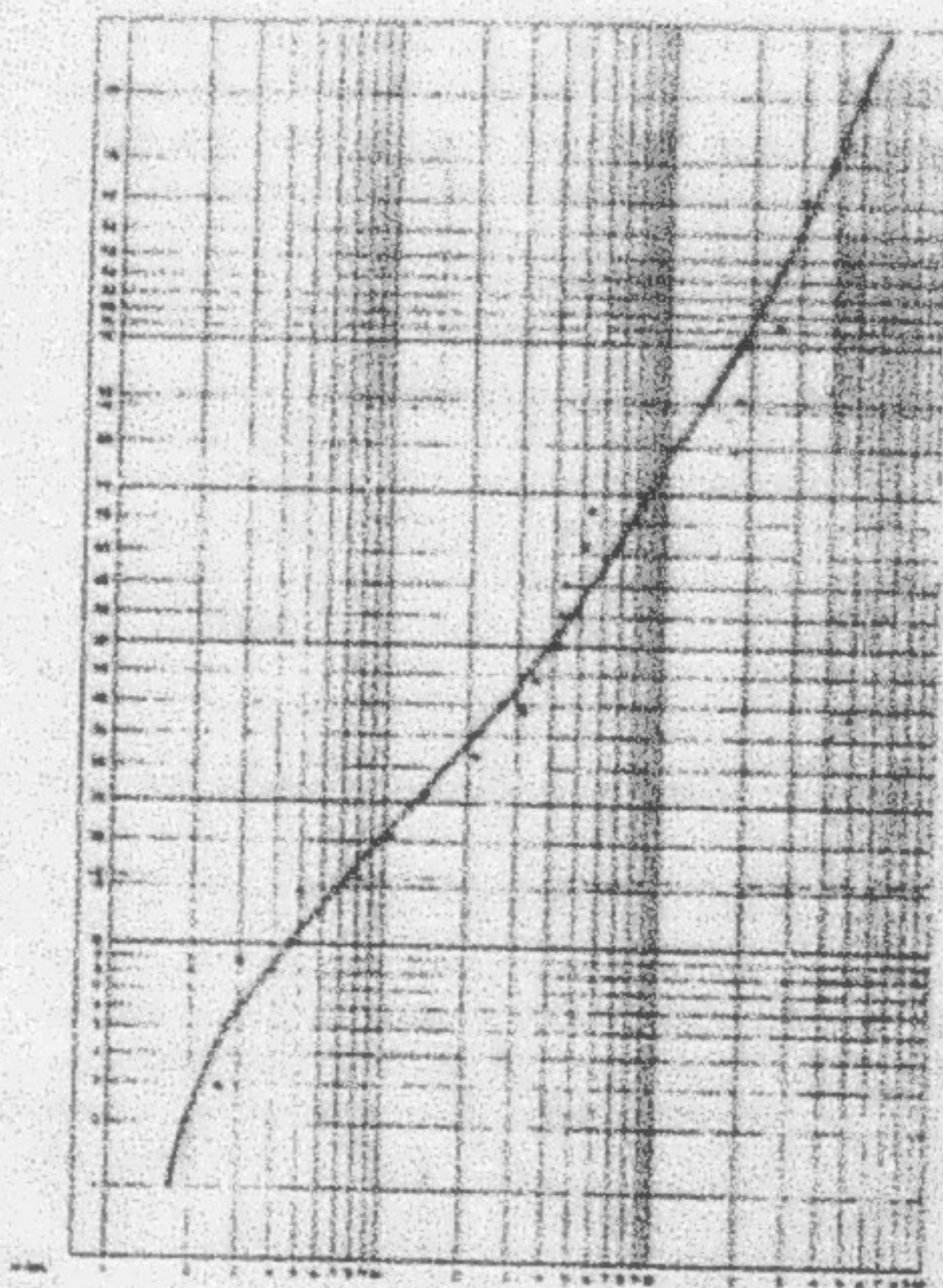
L'échantillon dont nous disposons, contient 17 valeurs, couvrant la période de 1968-69 à 1984-85, avec une lacune en 1979-80 et intégrant la crue de fin septembre 1986, supposée la plus forte de l'année en cours 1986-87.

Nous récapitulons dans le tableau 4-1-1 les valeurs des crues annuelles classées par ordre chronologique.-

TABLEAU 4-1-1

ANNEE	1968/1969	1970	1971	1972	1973	1974	1975	1976	1977	
VOLUME m ³	0,22	3,58	2,58	0,91	21,90	3,02	4,41	3,57	1,65	1,21
ANNEE	1978	1979	1980	1981	1982	1983	1984	1985	1986	
VOLUME m ³	0,26	-	3,71	0,48	15,46	2,75	15,15		25,96	

VOLUMES DE LA CAGE MAXIMALE ADMISSE



Les deux périodes sont assez bien saisies de ces observations soit 100 observations.

ANNUALISATION	0,971 867
ANNUALISATION	1,03 294
MEILLEUR	0,99
DÉVIATION STANDARD	1,183
DÉVIATION STANDARD	1,263

L'écartement de 9 mois au printemps 1966 à cet échantillon nous montre la plus grande valeur de cette déviation pour le cas de Goudron 22,500 tonnes, par le fait de l'absence des 12,277; ce tableau donne une meilleure caractéristique des deux dernières colonnes.

TABLEAU 8-8-2

PERIODES	I	II	III	IV	V	VI	VII	VIII
PERIODES I	1	1	1	1	1	1	1	1
PERIODES II	1	2,1	12,0	15,20	93,6	27,9	41,9	1
PERIODES III	1	0,6	12,4	15,3	82,90	26,9	37,8	1

Ensuite avec la période de culture de la croix du printemps 1966 nous estimons à 1000.

8-8 Comparaison de la croix de fin septembre 1966 aux appports annuels

Pour bien situer le niveau de la croix de fin septembre 1966, nous comparons respectivement à l'appport moyen annuel et à quelques appports caractéristiques de l'écartement statistique de l'échantillon de 10 valeurs de volumes annuels. La table 8-8-1 récapitule ces valeurs dans l'ordre chronologique de leur apparition.

STOCK STATISTICS FOR VOLUMES ANALYSIS

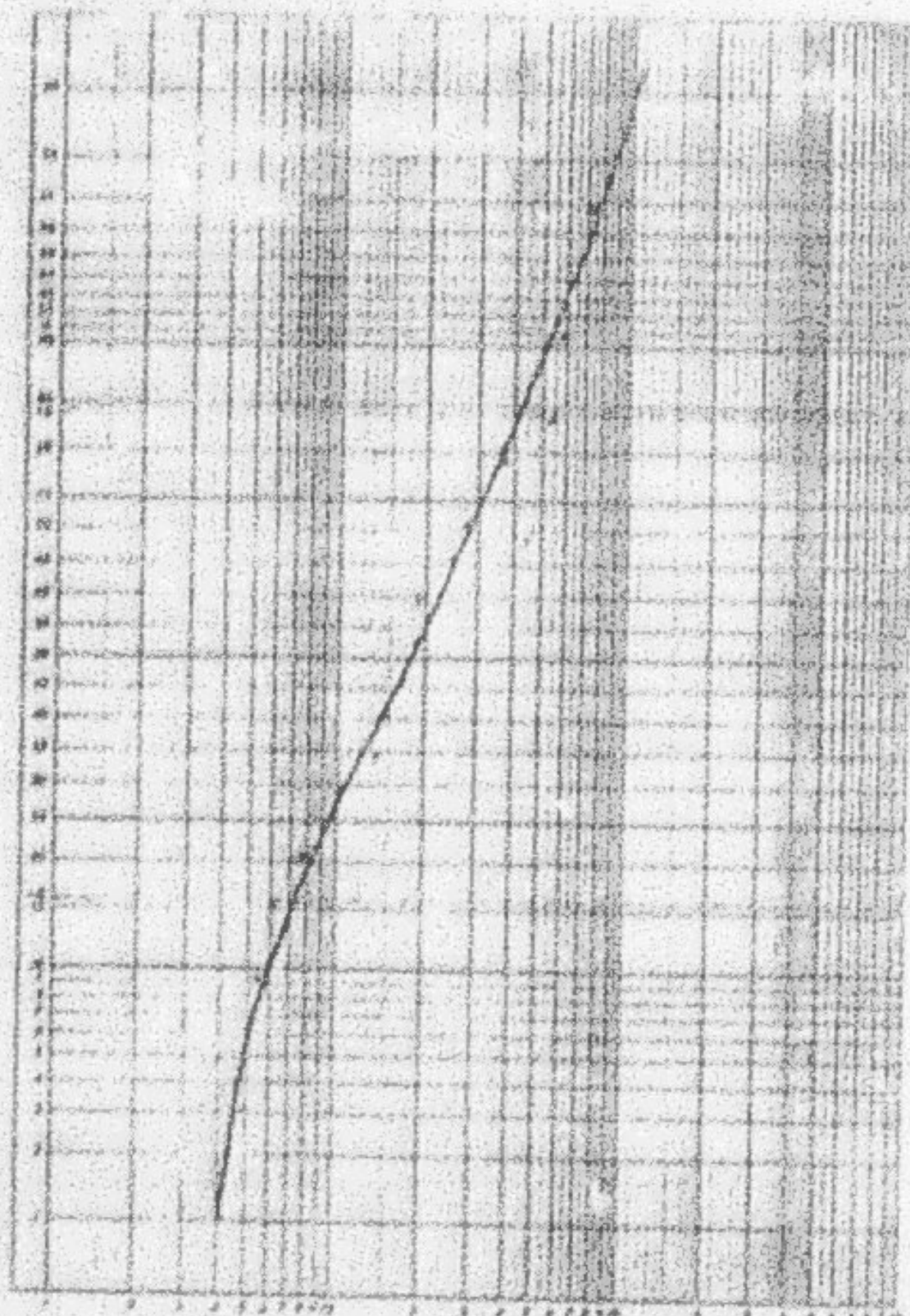


TABLEAU 4-2-3

ANNEE	1969	1970	1971	1972	1973	1974	1975	1976	1977	1978
APPORT m ³	6,2	24,7	27,0	14,8	58,8	58,5	19,7	16,5	20,4	13,6
ANNEE	1979	1980	1981	1982	1983	1984	1985			
APPORT m ³	5,4	-	37,1	4,9	72,5	7,7	53,9			

Les caractéristiques empiriques de cet échantillon sont :

moyenne observée 24,4 m³
 médiane 17,5 m³
 Ecart type 20,7
 Coefficient de variation 0,848
 Coefficient d'asymétrie 1,284

L'ajustement de la loi de Goodrich nous donne les valeurs caractéristiques suivantes : Tableau 4.2.2.

TABLEAU 4.2.2

1	2	2,5	3,33	5	10	20	50	100
1	1	1	1	1	1	1	1	1
1	VOLUME	18	22	28	36	51	66	86
1	m ³	1	1	1	1	1	1	1

ainsi donc, nous constatons que le volume de la crue de fin Septembre, 20 m³, dépasse l'apport moyen mensuel qui est de 28,7 m³ calculé sur 16 années d'observation (égal à environ une fois et demie l'apport moyen) alors, et que ce volume annuel dépendra de période de saison à peu.

4 - 3. Commentaire sur les résultats statistiques

L'Oued Tiss, affluent du Mouloua qui fait partie du réseau hydrographique de la région d'El Kef, est considéré par sa situation géographique comme ayant un régime hydrologique similaire à celle de la rivière traversant les affluents rive droite de la Mouloua, bien qu'elle l'erre dans Nord et du lac Ichkeul. Mais à l'examen des résultats d'écoulement annuel, comme on le voit aussi par la table pour les débits moyens, nous remarquons que l'Oued Tiss présente un régime relativement plus instable qu'en de la rivière ; un effet entre les valeurs relativement faibles des coefficients de variation et d'asymétrie; les rapports des volumes de période de saison donnée par la moyenne interannuelle, tableau 4-3-1, sont plus forts que ceux de la rivière dont l'Oued Tiss appartient (CF-1) ce qui place par conséquent ce dernier dans le groupe des cours d'eau : Mellègue, KOT Zéria... Ceci doit à noter avec attention car même si le régime de l'Oued Tiss est différent (pour des considérations hydrologiques ou autres...) de celui de la rivière du Nord, il ne peut pas être similaire à celui du Mellègue ou de KOT Zéria (régions de Tunisie Centrale).

Ceci nous amène à conclure que la taille de l'échantillon des volumes annuels est trop petite pour aboutir à des résultats statistiques sûrs.

TABLEAU 4 - 3 - 1

PERIODE DE SAISON T ¹	3	10	1-20	2-30	3-50	4-100
Rapport des volumes ;						
par la moyenne, saison	1,30	1,58	1,96	2,22	2,50	
Ichkeul, Extrême Nord						
OUED TISS	1,48	2,09	2,70	3,32	4,28	
Mellègue, KOT Zéria	1,30	1,73	2,35	3,08	3,95	

S. 4. ESTIMATION DES MÉTIERS DE BOIS

Les évaluations sont effectuées de la manière suivante : les deux dernières années sont utilisées pour établir une ligne de tendance et l'année suivante est évaluée à l'aide de cette ligne.

TABLEAU S. 4. 1

TABLEAU ESTIMATION MÉTIERS

	1975	1976	1977	1978	1979	1980	1981	1982	1983	
1) Bois mèche	7,5	8,8	7,8	8,2	28,8	29,5	47,0	47,6	47,8	48,5
2) Bois épicéa	5,5	6,7	5,8	6,6	15,7	19,2	33,7	33,7	33,7	33,7
3) Bois chêne	47,8	43,0	43,7	42,8	38,1	37,1	35,2	35,1	35,1	35,1

Les données ont toutes été prises au cours d'une même période :

Moyenne observée	47,8%
différence	- 8,8%
Bias moyen	- 8,2
Coefficient de variation	+ 1,102
Confid. d'approx. (%)	1,695

L'ajustement de 9 boîtes de poudreuses à l'identique des échantillons nous conduit aux valeurs caractéristiques données dans le tableau S. 4. 1, enlevant leur biais qui présente les plus faibles valeurs de tous d'évaluation à savoir, moyenne 22% (2,8%), Générac (1,8%) et Génac (7,2%).

Annex

* décaux (extraction : anomalies hydrologiques)

ETUDE STATISTIQUE

DES QEBITS MAXIMUMS MINUTES

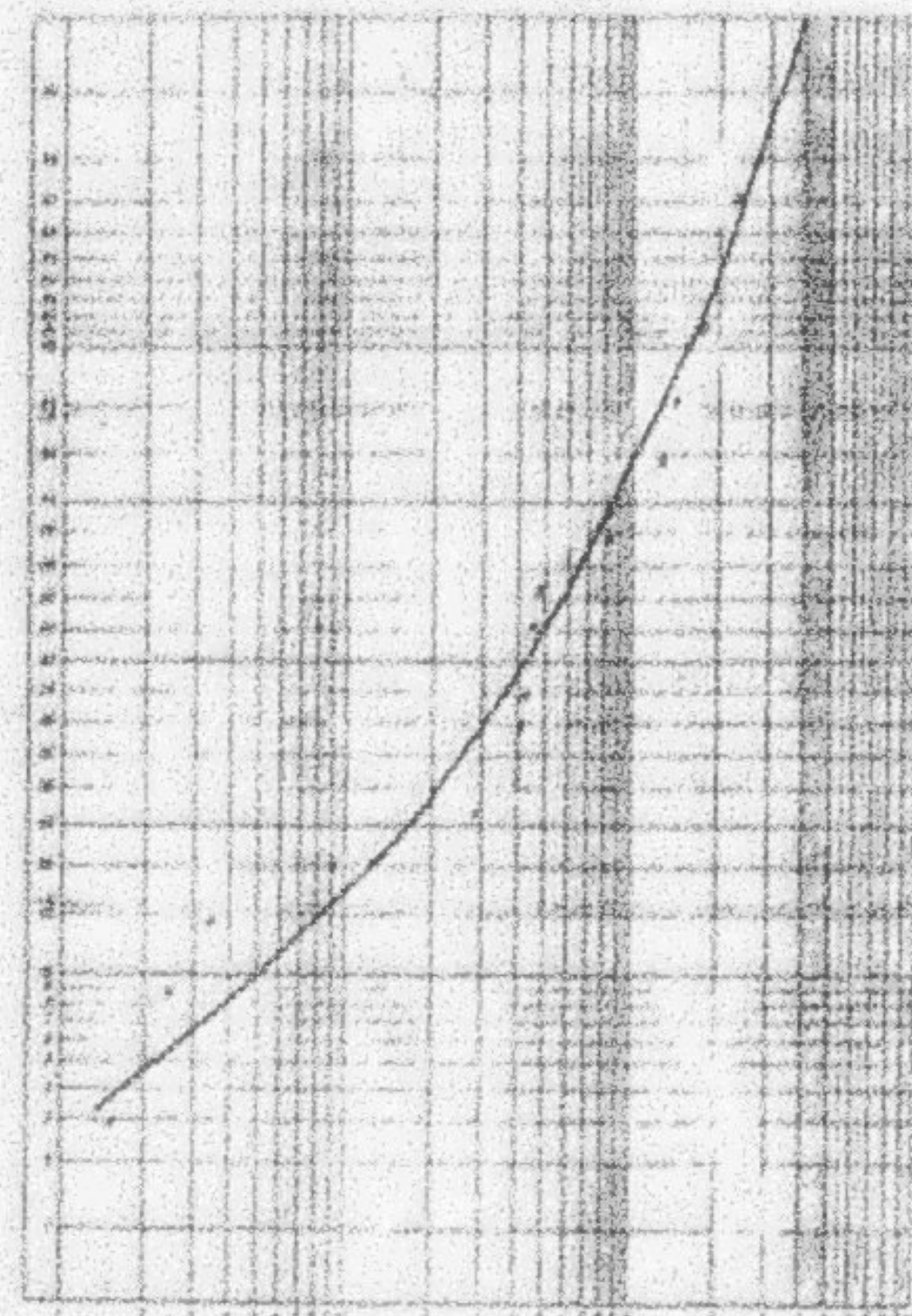


TABLEAU 4.4.1

Débits caractéristiques en m³/s

T	2	5	10	20	50	100
PEARSON III	51	134	200	268	352	429
GODDARD	50	132	203	273	373	431
CIMRCE	56	127	167	206	255	294

Ces résultats comparés à ceux des études statistiques faites sur les débits maximums des régions du lac Sétif, de l'extrême Sud et des affluents rive gauche de la Medjerdah (cf 1), montrent que les rapports des débits maximums relatifs à une période de retour donnée par la moyenne des débits maxima annuels sont très forts et place par conséquent l'onion Tine dans la région qui groupe le cours d'eau de la Medjerdah, ce qui nous paraît abînant. Ceci peut être expliqué par la non représentativité de cet échantillon, en effet à l'examen du tableau des débits maximums observés, il est visible qu'il existe beaucoup de valeurs faibles (1976, 1989, 1982, 1986) et une valeur forte (1987) qui ne peuvent pas rentrer dans un échantillon de 18 valeurs seulement.

L'ajustement d'une loi de probabilité à un tel échantillon accentue l'écart entre les valeurs calculées correspondantes à des périodes de retour élevées d'une part et faibles d'autre part.

Pour les raisons évoquées dans ce qui précède, nous avons opté pour l'estimation statistique sur l'échantillon des débits maximums excepté de la valeur de la crue de septembre 1986. Cette solution bien qu'elle ne soit pas un échantillon plus représentatif, elle a l'avantage d'atténuer un tant soit peu sa dissymétrie.

....

UNE ESTIMATION DES COÛTS D'ÉTUDE DE LA MIGRATION INTERNATIONALE EN 1971
PARISIENNE

Moyenne annuelle	18,3 mill.
annuelle	17,4 mill.
Moyenne annuelle	16,5
Coiffurage de population	1,9%
taux d'accroissement	1,2%

Nous pensons que la moyenne annuelle à donner pour l'évaluation des émissions internationales de personnes est celle qui se rapproche le plus du taux d'accroissement de la population dans la mesure où elle indique la tendance de cette migration.

Nous devons donc dans le tableau N.4.2 une autre combinaison de la loi de croissance qui sera utilisée pour l'estimation statistique de ces émissions.

TABLEAU N.4.2

Nombre de	1	2	3	4	5	6	7	8	9	10	11	12
Réseau	1	2	3	4	5	6	7	8	9	10	11	12
Débit maximum	1	2	3	4	5	6	7	8	9	10	11	12
$\bar{x} \text{ en } \text{m}^3/\text{s}$	43,2	209	160	212	200	227	227	206	207	207	207	207
	1	2	3	4	5	6	7	8	9	10	11	12

Les valeurs correspondantes aux périodes de retour 100 ans et 200 ans sont données à titre indicatif, la série hydrologique étant alors moins complète à ces rapports dates. Comme base de cette, il est intéressant d'observer une période de retour assez de la crue de fin septembre 1970, cependant nous pouvons affirmer qu'elle est au moins égale à 50 ans, en effet l'estimation de la période de retour du débit maximum à l'aide TSM à partir des paramètres régionaux (N.4.1) nous donne une certitude de 50 ans.

1.2.1. ESTIMATION DE LA SURFACE DU CHIOT D'UN INSTRUMENT CONDUISANT
L'ESTIMATION DE LA PRODUCTION DES POURCENTS D'EXTRAIT

$$X = 3,973 \quad CR = 1,4321 + 1,998$$

$$E = 0,001$$

$$S = \sqrt{R^2 + E^2} / n$$

Y non = rapport des effets divers annulé
à la superficie du produit durant un an.

Y = plus important intercorrélation est la liaison
Y = indice de productivité

Y = taux d'usure

Z = indice global + indice de vente

pour : ZH = 222, ZL = 518 ton, ZC = 1,33, ZD = 0,005, ZE = 0,0001

$$Z = \frac{Z_{H,L}}{Z_{C,D,E}} = 1,48$$

$$\rightarrow Y_{MAX} = 123 \text{ ton/4}$$

ESTIMATION DE LA SURFACE DE VENTE DU PRODUIT MARCHAND

$$PPO = 1,93 \text{ ton } T + 0,00 \text{ (fonction élastique)}$$

PPO = rapport du débit de production total T par la
superficie des effets divers.

Pour un débit de 340 t/j et un débit moyen hebdomadaire
annuel égal à 123 t/j nous obtenons un rapport 27,0 *
1,72 qui correspond à une période de vente de 30 ans

2. 2. 2. 2. 2. 2.

Les observations des 19 - 20 septembre 1955, qui ont été à l'origine d'informations utiles. Le travail de Génia Katsen, qui détermine l'heure particulière de hennir de l'oset noir, où l'apprentissage est localisé. Les séances de place organisées le 18 septembre à Sotchi (1955), devant la boy école et le khoupot. Il faut voir les périodes de repos, et autres sorties des osset noir.

Le tableau des mouvements du 28 septembre au 3 octobre 1955 montre que les osset, à leur émergence arrivent à 37 ans, ayant au cours de ces deux (24) mois fait une période de repos au moins deux à six ans.

B I B L I O G R A F I E

Notes bibliographiques et commentées

I. - Paramètres régionalisés relatifs aux sécheresses annuelles
découlant de nos débits de pointe

J. P. DE S. DUMAS

II. - Déviers hydroclimatiques de l'oued Cine

J. P. DE S. DUMAS

III. - Détermination des débits maxima à partir
des paramètres régionaux

J. P. DE S. DUMAS

IV. - Les précipitations et les crues exceptionnelles des 29 et 30
Septembre 1996 sur la Tunisie du Nord Est, par :

A. CHABAL, N.R. KALLEL - et M. PEREZ

DOI: 10.1080/02690830008704112

FIN

24

WUSS